

粘土の三軸スライス試験について（続報）

京大・防災研 乙真 柴田 徹
兵庫県 乙真・星野 渕

土の応力と変形あるいは強度を調べるために、多くの場合、三軸圧縮試験や一面せん断試験が行なわれているが、これらの試験では供試体中の応力や変形が十分に一様であるとはいえない。三軸スライスせん断試験機は、三軸セル中で試験される供試体に均一な応力ひずみ分布を与えること、およびせん断面に発生する向げき水圧を正確に把握することを主目的として、N.G.I.において開発されたものであり、その概要、せん断特性等についてはすでに発表した¹⁾。ここではその続報として、練瓦し再圧密した正規圧密粘土の向げき水圧、有効応力経路、せん断強度に関する考察を加えるものである。

使用した試料はその物性を表-1に示すよ；な3種類の粘性土である。スライスせん断試験および三軸圧縮試験はすべて圧密非排水状態で、変位制御ならびに荷重制御方式を採用した。back pressureは 1.0 kg/cm^2 である。

間げき水圧：図-1は非排水せん断中の $\sigma_u/\bar{\sigma}_c \sim \tau/\bar{\sigma}_n'$ 関係を示したものである。たゞし $\bar{\sigma}_n'$ ；間げき水圧， τ ；せん断面上のせん断応力， $\bar{\sigma}_n'$ ， $\bar{\sigma}_c$ ；それそれせん断面上の換算有効垂直応力，換算圧密圧力ともい）べきもって， $\bar{\sigma}_n' = \sigma_n' + c' \cot \varphi'$ ， $\bar{\sigma}_c = \sigma_c + c' \cot \varphi'$ と表わされる。

図より正規圧密粘土の非排水せん断中に発生する間げき水压は、応範囲の $\pi/\bar{\sigma}_v$ に対して直線関係を保つことがわかる。この関係は変位制御式・荷重制御式を問はず、またスライスせん断・三軸圧縮試験を問わずみられる。そして通常の非排水せん断試験中に発生する間げき水压は、主としてせん断面上における内部摩擦が發揮される度合に關係しており、正規圧密粘土の化する可能性を示している。

$$\text{以上の関係式示すれば} \quad u = d \cdot \bar{\sigma}_c (\tau / \bar{\sigma}_n' - g_p') \quad \dots(1)$$

ただし α, β は図-1中に説明してある。

（せん断面上における内部摩擦の動摩擦が二の値に達するまでは）間隙水圧の発生が

表-1 試料の物性

試料	L.L.%	P.I.%	<2μ% 活性度
N.O. 1	36.0	10.4	23.0 0.45
2	63.5	36.1	18.5 1.95
3	52.5	28.9	18.0 1.61

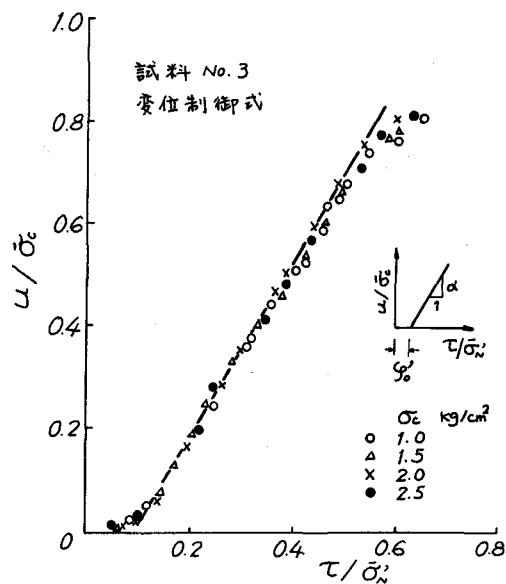


図-1 スライスせん断試験における
 μ/σ_c ～ τ/σ_c 関係

僅かであることを示す限界値)に対する圧密圧力 σ_c' の影響は、試料 No.1, 3についてはほとんどみられなかつたが、試料 No.2については σ_c' が増加するにつれて φ' が増加する傾向がみられた。また φ' 値に対するせん断速度の影響は顕著であり、速度が遅くなるほど φ' が小さくなることが確認された。一方、 α の値は試料 No.1; 1.40~1.58, No.2; 1.68~1.76, No.3; 1.66~1.75 であり、同一試料に対するほぼ一定となる。

有効応力経路とせん断強度：

通常の圧縮、伸張、一面せん断あるいはスライスせん断試験の場合、 $\tau \sim \sigma_n'$ 座標における全応力表示の応力経路は直線であり、 σ_n' 軸との角度 θ を用いて、せん断応力と有効垂直応力との関係を表わすと

$$u = \tau \cdot \cot \theta + \bar{\sigma}_c - \bar{\sigma}_n' \quad \dots \dots (2)$$

ただし三軸圧縮; $\theta = 45^\circ + \frac{\varphi'}{2}$,

スライス; $\theta = 45^\circ$, 一面せん断; $\theta = 90^\circ$ (定体積方式)。式(2)を(1)に代入すれば

$$\bar{\sigma}_n'^2 - C \cdot \bar{\sigma}_n' \cdot \tau - A \cdot \bar{\sigma}_n' + B \cdot \tau = 0 \quad \dots \dots (3)$$

ただし $A = (1 + \alpha \cdot \varphi') \bar{\sigma}_c$, $B = \alpha \cdot \bar{\sigma}_c$, $C = \cot \theta$ である。式(3)は正規圧密粘土を非排水状態でせん断した場合の有効応力経路を表わす式であり、三軸圧縮やスライスせん断試験の場合は双曲線、一面せん断試験(定体積方式)の場合は放物線となり、いずれの場合も $\bar{\sigma}_n'$ 軸上の $\bar{\sigma}_n' = 0$ と $\bar{\sigma}_n' = A + 2B$ を通る2次曲線である。

また $(\sigma'_1 / \sigma'_3)_{max}$ なる破壊規準は φ'_{max} 、および Cu/p 比は式(3)よりつぎの式に導かれます。

三軸圧縮・スライスせん断試験:

$$\tan \varphi'_{max} = \frac{A}{B}, \quad \frac{Cu}{p} = \frac{2A}{C \cdot \sin 2\theta} \left[\frac{1}{C} \left(1 - \sqrt{1 - \frac{A \cdot C}{B}} \right) - \frac{A}{2B} \right]$$

一面せん断試験(定体積方式):

$$\tan \varphi'_{max} = \frac{A}{B}, \quad \frac{Cu}{p} = \frac{1}{4} \cdot \frac{A}{B} (1 + \alpha \cdot \varphi'_{max})$$

式(3)に α , φ' の値を代入して実際の有効応力経路と比較したもののが図-2であり、 τ_{max} があるまでは推定曲線と実測値がよく一致しているといえます。また二に挙げた試料では、 Cu/p 比に関して推定値と実測値に差をみないが、 φ'_{max} については推定値が実測値を上まわることの差が大きいとも判明しています。

1) 柴田, 屋野: 粘土の三軸スライスせん断試験について, 土と基礎, 16-1, 1968, pp. 3~9.

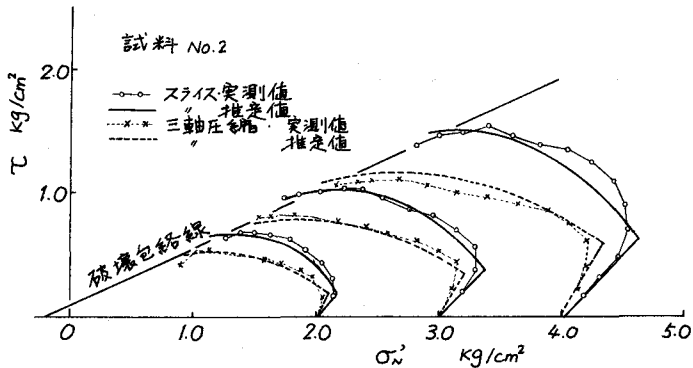


図-2 有効応力経路の推定値と実測値の比較。